



DIE
TI.

UNI
NA

VERSITA' DEGLI STUDI DI
POLI FEDERICO II

DIPARTIMENTO DI INGEGNERIA ELETTRICA
E TECNOLOGIE DELL'INFORMAZIONE
SCUOLA POLITECNICA E DELLE SCIENZE DI BASE

ELABORATO DI ESAME DI COMPLEMENTI DI CONTROLLI

Controllo di un elicottero

Candidato
MARIO VALENTINO
P38000205

Anno Accademico 2022/2023

Sommario

Introduzione	3
Modello.....	5
Assegnamento degli autovalori.....	6
Azione integrale	7
Osservatore	8
Risultati	8
Mixed Sensitivity Design	12
Scelta della W_t	12
Scelta della W_s e W_k	14
Risultati	15
Controllo LQ	19
Filtro di Kalman	21
Appendice	24

Introduzione

L'obiettivo dell'elaborato è l'applicazione di tre diverse tecniche di progetto per il controllo di hovering di un elicottero Yamaha R-MAX. Lo Yamaha R-MAX è un UAV alimentato a benzina, comandato in linea di vista dall'utente tramite un telecomando. È stato progettato principalmente per essere utilizzato in ambito agricolo.

Il modello matematico di un elicottero è chiaramente non lineare e le equazioni da utilizzare cambiano in base al regime di volo. In questo elaborato ci si concentrerà sul volo a bassa velocità, il cui modello può essere linearizzato e, con le opportune semplificazioni, ridotto ad un sistema di ordine 13.

Le grandezze di controllo sono:

- **Lateral Cyclic:** permette di inclinare il rotore principale in modo da spostare il vettore di spinta lateralmente consentendo all'elicottero di muoversi in tale direzione.
- **Longitudinal Cyclic:** come il lateral cyclic, permette di muoversi longitudinalmente.
- **Rudder:** permette di controllare la direzione verso cui punta il muso dell'elicottero. Il rudder funziona modificando l'angolo di incidenza del rotore di coda, aumentando o diminuendone la spinta nella direzione desiderata.
- **Collective pitch:** consente di variare l'angolo di incidenza delle pale del rotore principale contemporaneamente. Aumentando il collective pitch, si aumenta la spinta verticale e l'elicottero sale, mentre diminuendolo si riduce la spinta e l'elicottero scende.

Le grandezze di controllo variano tra -1 ed 1 (adimensionali). Il regime di validità del modello è tale per cui se il controllo funziona bene, le grandezze di controllo dovrebbero rimanere sempre ben lontane dai valori limite. Negli schemi di simulazione Simulink, sono stati comunque inseriti i blocchi di saturazione che simulano il limite fisico degli attuatori.

Il tempo di assestamento deve essere di circa 5 secondi. La sovraelongazione deve essere bassa (massimo 15-20%). In questo contesto, una sovraelongazione più bassa è preferibile anche se ciò comporta un leggero aumento del tempo di assestamento.

Le uscite del modello sono le tre velocità traslazionali u, v e w , e la velocità di rotazione intorno all'asse verticale **yaw rate** misurata dal gyroscopic yaw rate sensor.

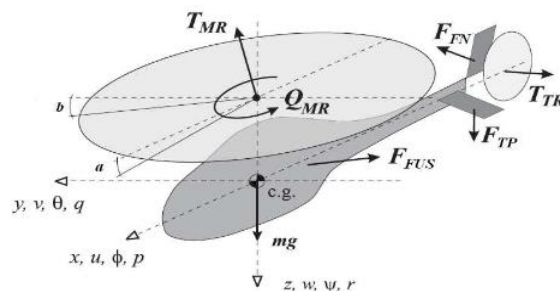


Figura 1: Descrizione del sistema

Matrice A:

-0.051	0	0	0	0	-322	-322	0	0	0	0	0	-0.051
0	-0.154	0	0	322	0	0	322	0	0	0	0	0
-0.144	0.143	0	0	0	0	0	166	0	0	0	0	-0.144
-0.056	-0.057	0	0	0	0	82.6	0	0	0	0	0	-0.056
0	0	1	0	0	0	0	0	0	0	0	0	0
0	0	0	1	0	0	0	0	0	0	0	0	0
0	0	0	-1	0	0	-21.74	-4.109	0	0	0	14	0
0	0	-1	0	0	0	8	-21.74	0	0	0	0	0
0	0	0	0	0	0	-9.75	-131	-0.614	0.93	0	0	0
0	0	0.03	-3.53	0	0	0	0	0	0.086	-4.23	-33.1	0
0	0	0	0	0	0	0	0	0	21.16	-8.26	0	0
0	0	0	-1	0	0	0	0	0	0	0	-2.924	0
0	0	1	0	0	0	0	0	0	0	0	0	0

Matrice B:

0	0	0	0
0	0	0	0
0	0	0	0
0	0	0	0
0	0	0	0
0	0	0	0
0.68	-2.174	0	0
3.043	0.3	0	0
0	0	0	-45.8
0	0	33.1	-3.33
0	0	0	0
0	-0.757	0	0
0.798	0	0	0

Matrice C:

1	0	0	0	0	0	0	0	0	0	0	0	0
0	1	0	0	0	0	0	0	0	0	0	0	0
0	0	0	0	0	0	0	0	1	0	0	0	0
0	0	0	0	0	0	0	0	0	1	0	0	0

Le variabili di stato sono rispettivamente: **u, v, roll rate, pitch rate, roll, pitch, flapping angle a, flapping angle b, w, yaw rate, gyroscope yaw rate, paddle angle c, paddle angle d**. Tutte le grandezze sono espresse nelle unità di misura del Sistema Internazionale.

Modello

```
clear all
load('Elicottero.mat')

states = {'u','v','roll rate','pitch rate','roll','pitch','flapping
a','flapping b','w','yaw rate','gyroscope yaw rate','paddle c', 'paddle d'};
inputs = {'Lateral cyclic [-1, 1]', 'Longitudinal cyclic [-1, 1]', 'Rudder [-1,
1]', 'Collective pitch [-1, 1]'};
outputs = {'u', 'v', 'w','gyroscope yaw rate'};
C = zeros(4,13);
C(1,strcmp(states, 'u')) = 1;
C(2,strcmp(states, 'v')) = 1;
C(3,strcmp(states, 'w')) = 1;
C(4,strcmp(states, 'gyroscope yaw rate')) = 1;

D = zeros(4,4);
sys = ss(A,B,C,D);

s = tf('s');
%matrice di trasferimento
G = tf(sys);
%bode(G), figure, step(G)
```

Per prima cosa è necessario controllare le proprietà di controllabilità ed osservabilità del sistema. Dato che gli elementi della matrice di controllabilità e di osservabilità spaziano in un range molto grande (alcuni elementi sono minori di uno, altri sono maggiori di 10^{12}), la tolleranza di default utilizzata da Matlab porta a conclusioni errate. Specificando un'opportuna tolleranza si vede che il sistema è completamente controllabile e completamente osservabile.

```
Ctr = ctrb(A,B); r_ctr = rank(Ctr,1e-6)
```

```
r_ctr = 13
```

```
Obs = obsv(A,C); r_obs = rank(Obs,1e-6)
```

```
r_obs = 13
```

Assegnamento degli autovalori

La prima tecnica di progetto consiste nell'assegnamento degli autovalori. Sei poli del sistema vengono scelti con il metodo ITAE: data una pulsazione ω_n sono i poli che minimizzano $\int_0^{+\infty} t|e(t)|dt$ che garantiscono poche oscillazioni con una sovraelongazione relativamente piccola. La pulsazione ω_n viene scelta per tentativi sulla base del tempo di assestamento desiderato. I restanti poli devono essere scelti non troppo a sinistra per evitare un controllo troppo grande o troppo nervoso, non troppo vicini ai poli assegnati con itae per non fargli perdere la dominanza. Un buon trade-off è stato trovato prendendoli reali e distanziandoli rispettivamente di uno verso sinistra.

```
omega_n_itae = 1.7;

p_itae = itae(6,omega_n_itae);

for i=7:13
    p_itae = [p_itae real(p_itae(i-1))-1];
end
```

Poli assegnati:

```
disp(p_itae')

-0.5268 + 2.1477i
-0.5268 - 2.1477i
-0.9869 + 1.3308i
-0.9869 - 1.3308i
-1.2489 + 0.4883i
-1.2489 - 0.4883i
-2.2489 + 0.0000i
-3.2489 + 0.0000i
-4.2489 + 0.0000i
-5.2489 + 0.0000i
-6.2489 + 0.0000i
-7.2489 + 0.0000i
-8.2489 + 0.0000i
```

```
K_itae = place(A,B,p_itae);

CC_itae = ss(A-B*K_itae,B,C,D);

step(CC_itae), dcgain(CC_itae)
```

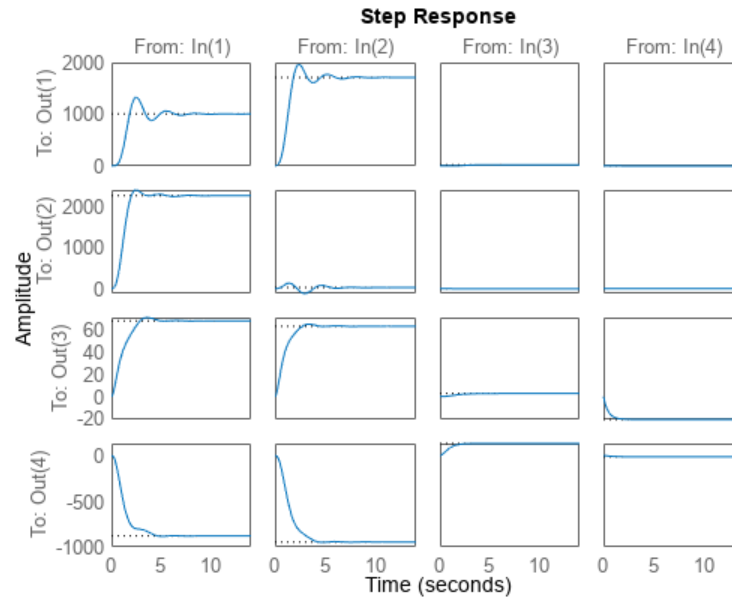


Figura 2: Risposta al gradino del sistema con retroazione di stato

```
ans = 4x4
103 ×
    1.0043    1.7099    0.0187   -0.0026
    2.2615    0.0263   -0.0043    0.0004
    0.0681    0.0631    0.0027   -0.0207
   -0.8790   -0.9459    0.1326   -0.0124
```

Azione integrale

Ovviamente l'assegnamento degli autovalori tramite retroazione di stato non permette da solo di ottenere errore a regime nullo. Per garantire questa specifica è necessario introdurre 4 integratori che vanno ad integrare l'errore dell'uscita rispetto al riferimento. Si considera quindi il sistema aumentato che deve essere completamente controllabile:

```
Aint = [A zeros(13,4);
        -C zeros(4,4)];
Bint = [B; -D];
Cint = [C, zeros(4,4)];
Dint = D;

Ctr_int = ctrb(Aint,Bint); r_ctr_int = rank(Ctr_int,1e-6)

r_ctr_int = 17
```

La matrice di controllabilità ha rango pieno, quindi la risposta è affermativa. A questo punto è necessario assegnare i 17 poli del sistema aumentato. I primi 13 sono quelli scelti in precedenza, i successivi vengono scelti attraverso le stesse considerazioni fatte prima.

```
p_int = [p_itae';
         p_itae(end)-0.5;
         p_itae(end)-1;
         p_itae(end)-1.5;
         p_itae(end)-2];
K_int = place(Aint,Bint,p_int);
```

La K ottenuta con il comando place è costituita da 17 elementi. Per come sono state costruite le matrici dell'impianto aumentato, i primi 13 elementi sono relativi alla retroazione di stato, gli ultimi 4 sono le costanti moltiplicative degli integratori.

```
K_s = K_int(:,1:13);
K_i = K_int(:,14:17);
```

Osservatore

Per il principio di separazione è possibile progettare direttamente l'osservatore. I poli dell'osservatore devono essere scelti sufficientemente a sinistra da consentire convergenza rapida dell'errore di stima, ricordando però che un osservatore troppo veloce aumenta la banda del sistema amplificando il rumore di misura.

```
p_obs = real(p_itae)-10;
L = place(A',C',p_obs)';

Aobs = (A-L*C);
Bobs = [B - L*D, L];
Cobs = eye(13);
Dobs = zeros(13,8);
```

Risultati

Per verificare il funzionamento della retroazione di stato con azione integrale si pone la condizione iniziale dell'osservatore uguale alla condizione iniziale del sistema. In questo modo è come se l'osservatore non ci fosse.

I grafici mostrano la risposta ad un riferimento di 1 m/s lungo x e, dopo 3 secondi, anche un riferimento di 0.5 m/s lungo la direzione verticale. Praticamente si sta chiedendo all'elicottero di muoversi in avanti e contemporaneamente salire dopo 3 secondi, mantenendo nulle le velocità laterali e di rotazione intorno all'asse verticale.


```
x0_obs = 0;
eig_out = sim('autovalori_sim.slx');
plotyu(eig_out,'ulim',[-0.05,0.05],'ylegend',outputs,'ulegend',inputs)
```

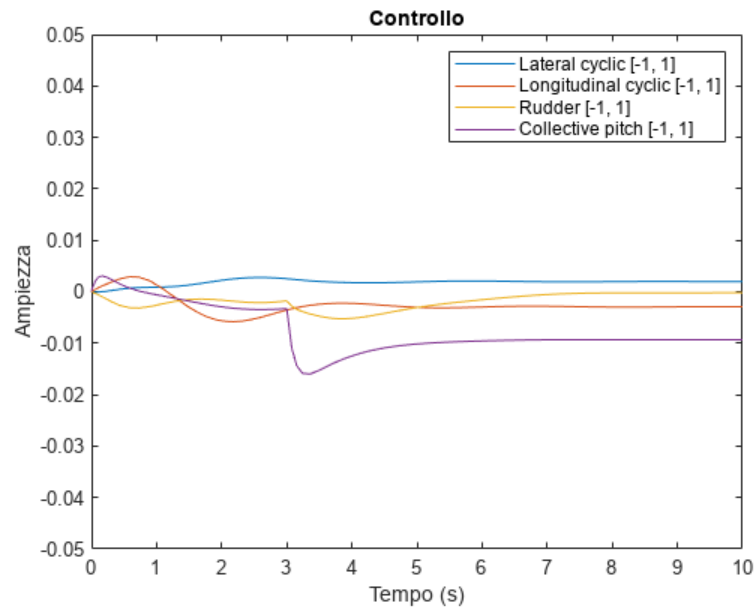


Figura 3: Grandezza di controllo corrispondente alla simulazione con assegnamento degli autovalori ed azione integrale

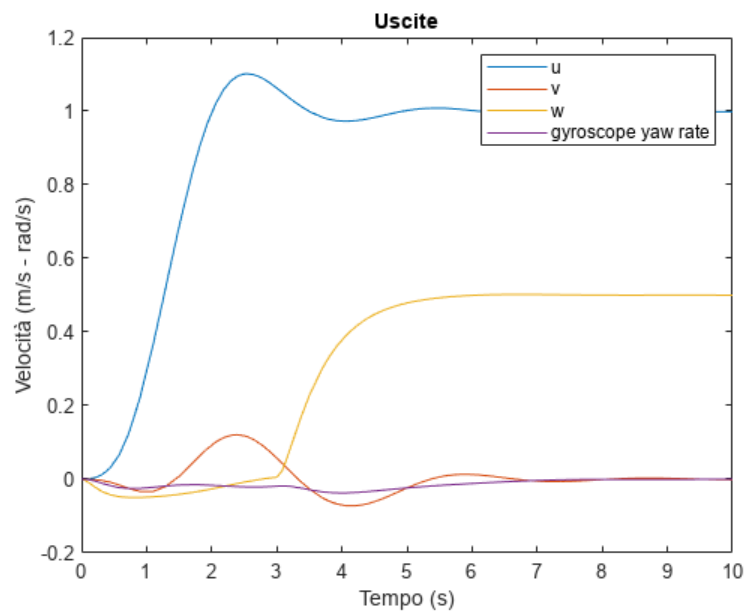


Figura 4: Uscita della simulazione con assegnamento degli autovalori ed azione integrale

Per verificare il funzionamento dell'osservatore, si può ripetere la simulazione facendolo partire da uno stato iniziale diverso da quello del sistema. Al solo scopo di visualizzare l'errore di stima, alla matrice C del processo è stata aggiunta una matrice identità che permette di visualizzarne lo stato.

```

x0_obs = rand(13,1)*0.005-0.0025;
eig_out_obs = sim('autovalori_sim.slx');
plotyu(eig_out_obs,'ulim',[-
0.05,0.05], 'ylegend',outputs,'ulegend',inputs,'un',1:4,'yn',1:4)

```

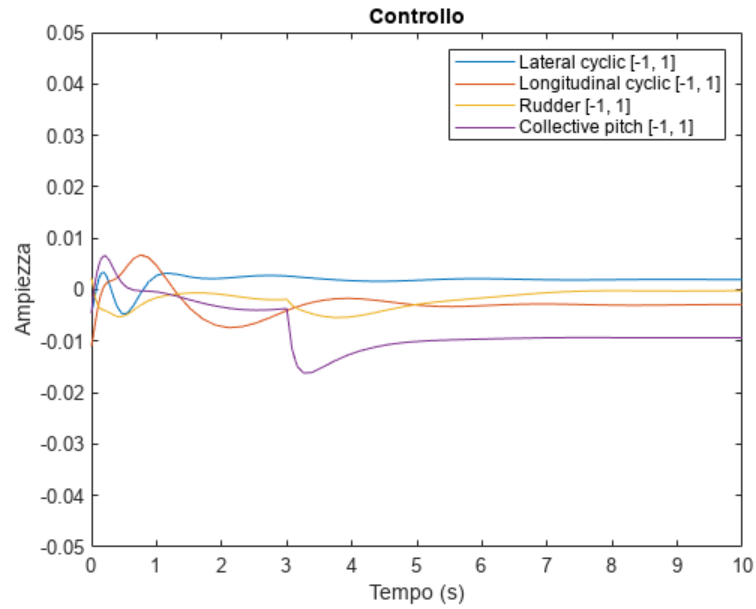


Figura 5: Grandezza di controllo con osservatore

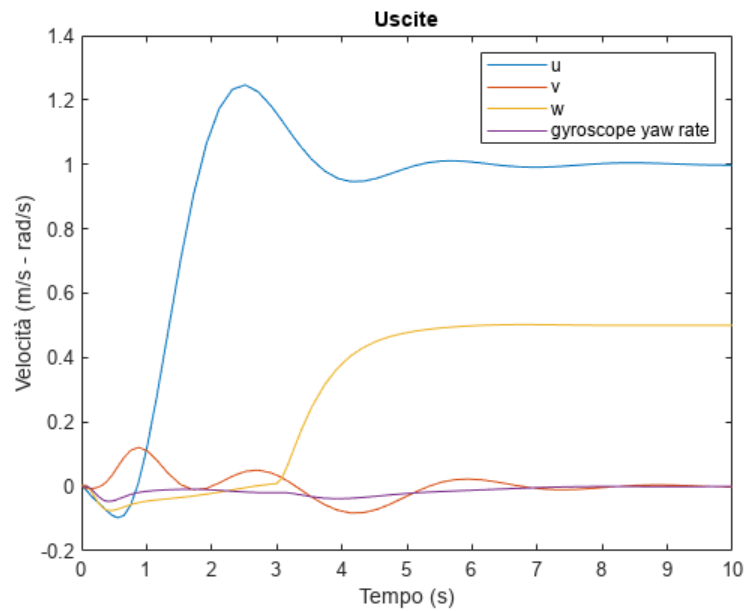


Figura 6: Uscita della simulazione con osservatore

```

plot(eig_out_obs.e.time,eig_out_obs.e.signals.values);
title('Errore di stima')
xlabel('Tempo (s)')
xlim([0 5])

```

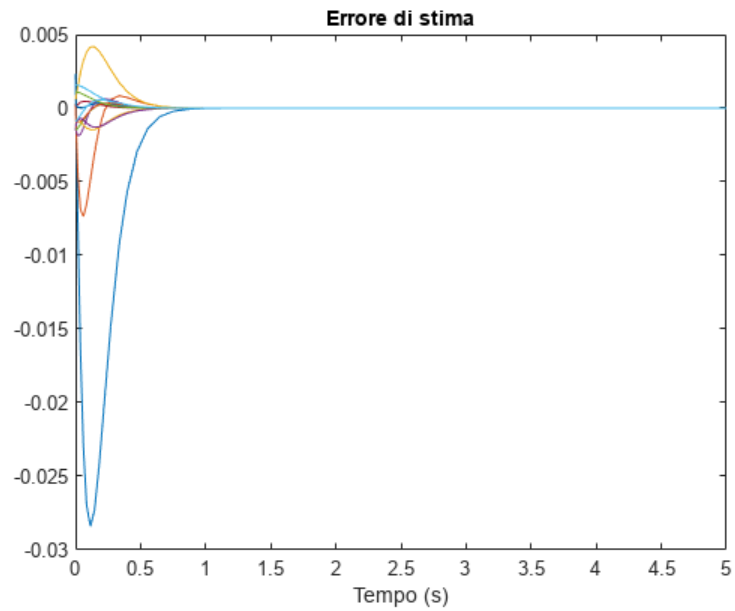


Figura 7: Errore tra lo stato osservato e lo stato effettivo

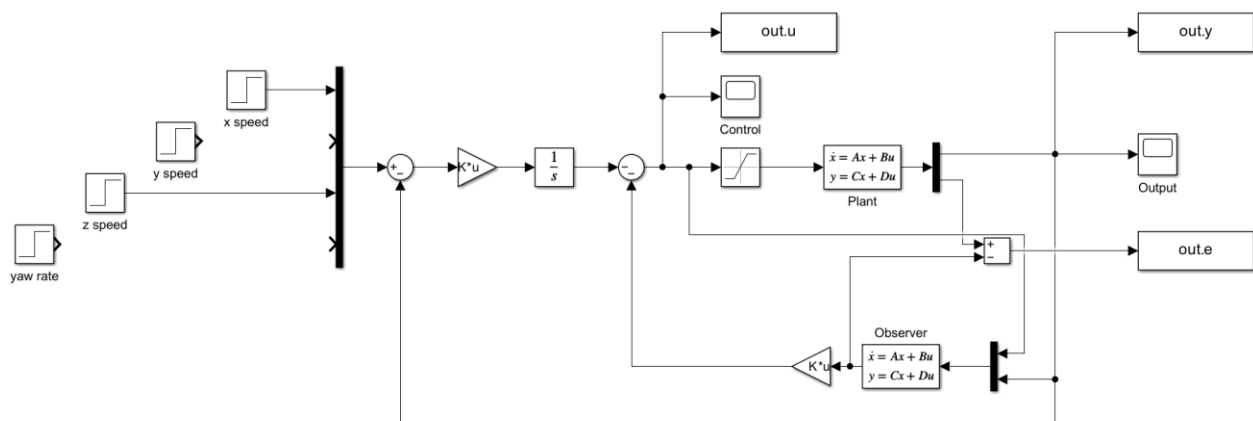


Figura 8: Schema di controllo finale assegnamento degli autovalori

Mixed Sensitivity Design

La tecnica del Mixed Sensitivity Design consente di tener conto anche di specifiche sulla robustezza. Si suppone che l'impianto sia affetto da incertezza moltiplicativa: $G_{\text{real}} = G_t \cdot G$ dove

$$G_t = \begin{bmatrix} k_1 e^{-\theta_1 s} & & & \\ & k_2 e^{-\theta_2 s} & & \\ & & k_3 e^{-\theta_3 s} & \\ & & & k_4 e^{-\theta_4 s} \end{bmatrix} : \text{l'impianto reale presenta un'incertezza in uscita su ogni}$$

canale che, nel caso peggiore, è del $\pm 10\%$ sul guadagno ed un ritardo di tempo di 10 ms.

Il comando **mixsyn** cerca il regolatore R che minimizza la norma H_∞ della matrice

$$G_{zw} = \begin{bmatrix} W_S \cdot S \\ W_T \cdot T \\ W_K \cdot R S \end{bmatrix} \text{ dove } T \text{ ed } S \text{ sono rispettivamente le funzioni di sensitività complementare e}$$

diretta. Le matrici W_S, W_T e W_K sono delle matrici di peso che consentono di scegliere in quale banda andare a minimizzare maggiormente la matrice che moltiplicano.

Scelta della W_t

Posto $G_t(s) = (I + \Delta(s))$ si dimostra, applicando il teorema del piccolo guadagno, che il sistema è robusto se $\|W_T \cdot T\|_\infty < 1$. La matrice di peso W_T deve maggiorare l'incertezza Δ per ogni frequenza. Trattandosi in generale di una condizione sufficiente molto restrittiva, sono tollerate piccole bande di frequenze in cui la maggiorazione non è perfetta.

```
delay = 0.01;

Gt = ss([],[],[],diag([1.1 1.1 1.1 1.1]));
Gt.OutputDelay=delay*ones(1,4);
Greal = Gt*sys;
bode(G(1,1),Greal(1,1))
legend("G(1,1)","Greal(1,1)")
```

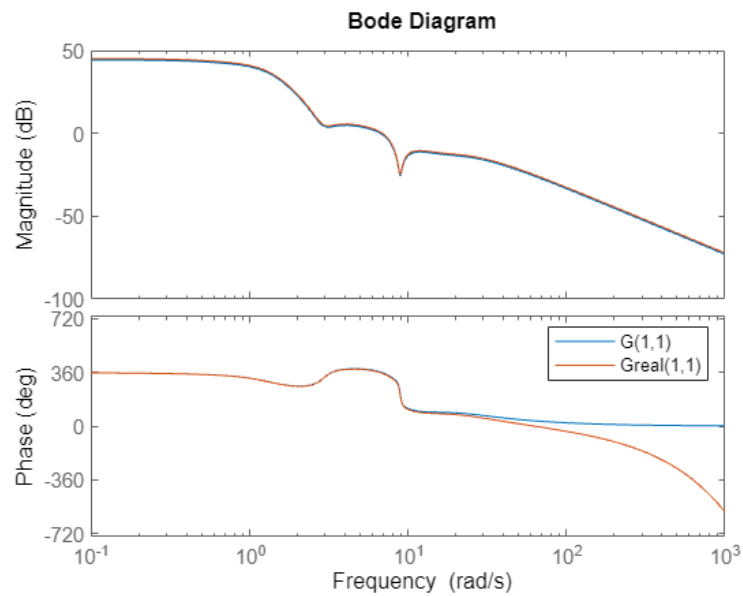


Figura 9: Diagrammi di bode processo nominale e reale (solo del primo canale di ingresso-uscita)

```
Delta=(eye(4)-Gt);
WT = (1 - 1.1*(1-s*delay/2)/(1+s*delay/2)).*eye(4);
sigma(WT,Delta)
```

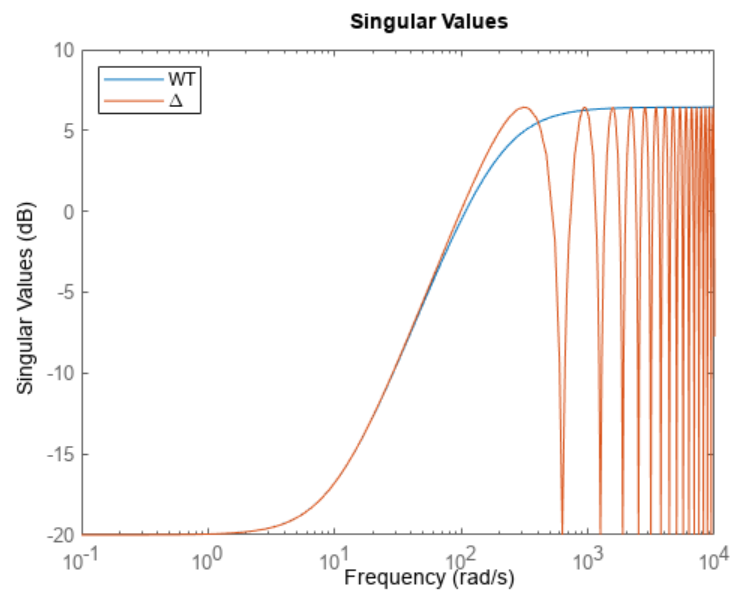


Figura 10: Verifica della maggiorazione delle incertezze

Scelta della W_S e W_K

Le matrici W_S e W_K vengono scelte per tentativi. La matrice di peso della sensitività diretta la si sceglie grande dove si vuole T grande, ovvero nella banda passante desiderata. Per avere inseguimento del riferimento a gradino vengono messi dei poli a bassissima frequenza che forzano la presenza di un integratore nella funzione di anello.

```
WS = tf(zeros(4));
WS(1,1) = 1e4/(1+s/1e-4);
WS(2,2) = 1e4/(1+s/1e-3);
WS(3,3) = 1e4/(1+s/1e-5);
WS(4,4) = 1e4/(1+s/1e-5);
sigma(WT,WS)
```

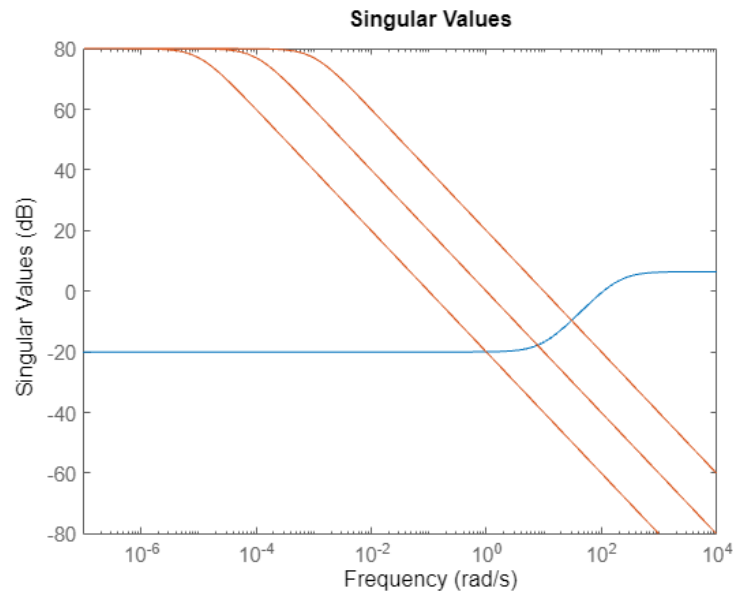


Figura 11: Scelta delle matrici di peso W_S (in rosso)

La matrice W_K serve a pesare la grandezza di controllo: va aumentata per ridurre l'ampiezza di controllo stando attenti a rispettare le altre specifiche, tra cui quella sulla robustezza. È stata presa costante pari a 0.5 su ogni canale. Per migliorare ulteriormente il controllo negli istanti iniziali si è scelto di filtrare i riferimenti di velocità u , v e w attraverso opportuni filtri del primo ordine.

```
WK = tf(1e0.*diag([1 1 1 1]).*0.5);
[K_inf,CL,GAM,INFO] = mixsyn(sys,WS,WK,WT);
```

Risultati

```
out_hinf = sim('H_inf_sim.slx');
plotyu(out_hinf,'ulim',
[-0.05,0.05], 'ylegend', outputs, 'ulegend', inputs, 'un', 1:4, 'yn', 1:4)
```

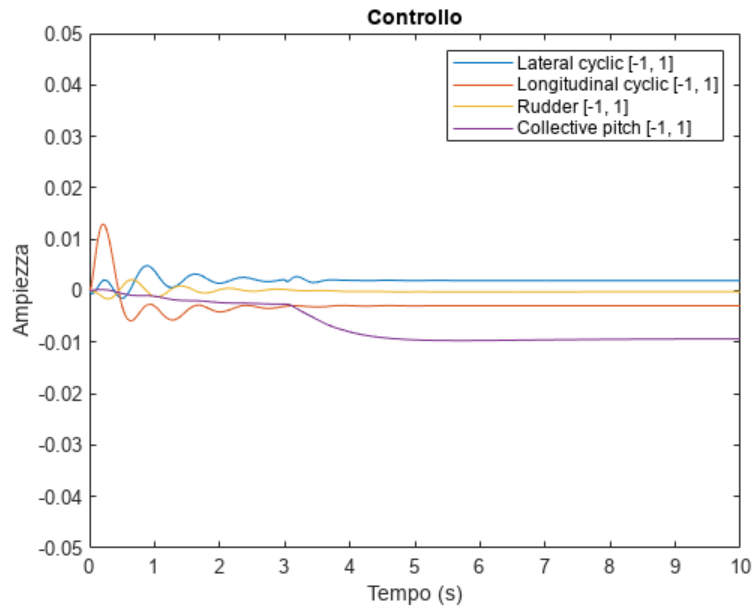


Figura 12: Grandezza di controllo del progetto con mixsyn

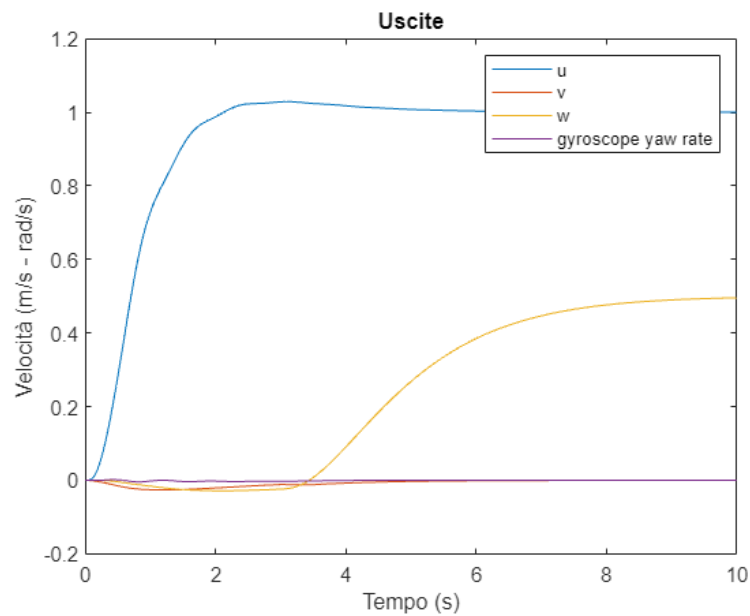


Figura 13: Simulazione con il controllore ottenuto con mixsyn

Le specifiche sono ampiamente rispettate con un maggior disaccoppiamento fra i canali rispetto al progetto con assegnamento degli autovalori.

```
L = G*K_inf;
S = feedback(eye(4),L);
T = feedback(L,eye(4));
sigma(T,S)
legend('T','S')
```

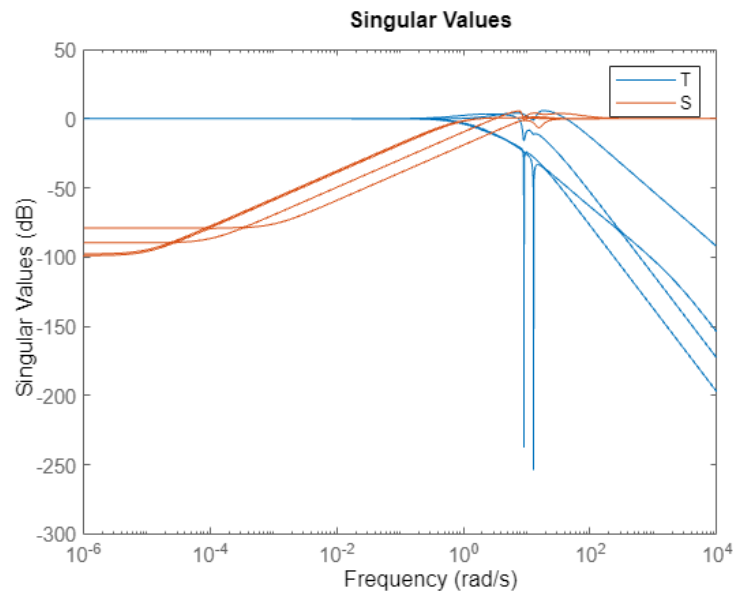


Figura 14: Diagramma dei valori singolari delle funzioni di sensibilità diretta e complementare

Inoltre, i valori singolari di $W_T \cdot T$ sono sempre al di sotto dell'asse 0dB, quindi il sistema è robusto. Ciò trova riscontro nella simulazione sul sistema reale.

```
sigma(WT*T),grid
```

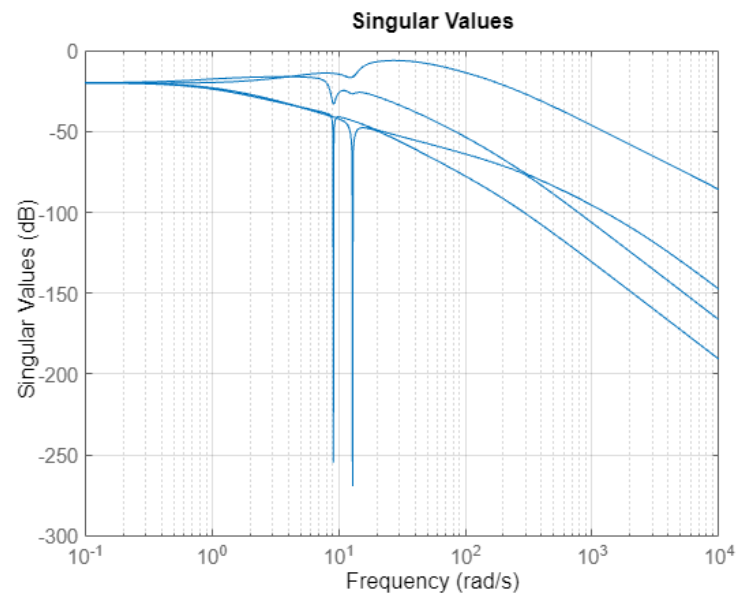



Figura 15: Verifica della robustezza

```
plotyu(out_hinf, 'ulim',  
[-0.05, 0.05], 'ylegend', outputs, 'ulegend', inputs, 'un', 5:8, 'yn', 5:8)
```

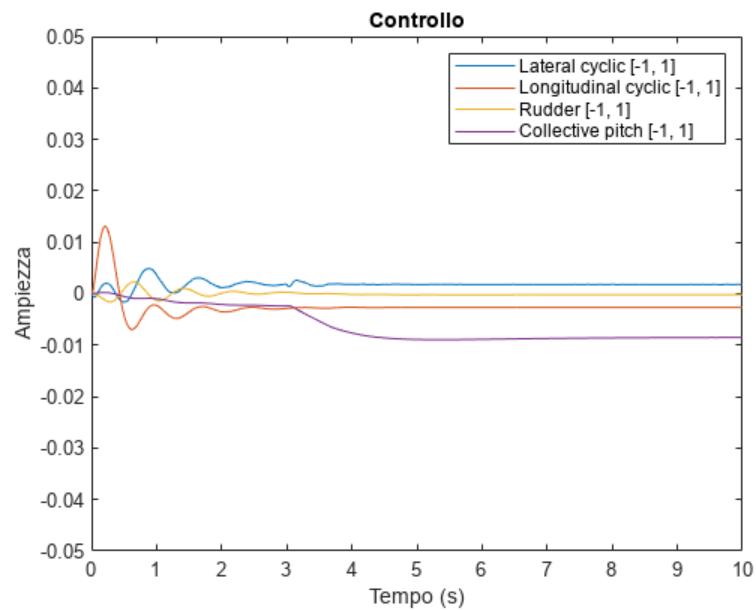


Figura 16: Grandezza di controllo ottenuta con il regolatore progettato, applicato sull'impianto reale

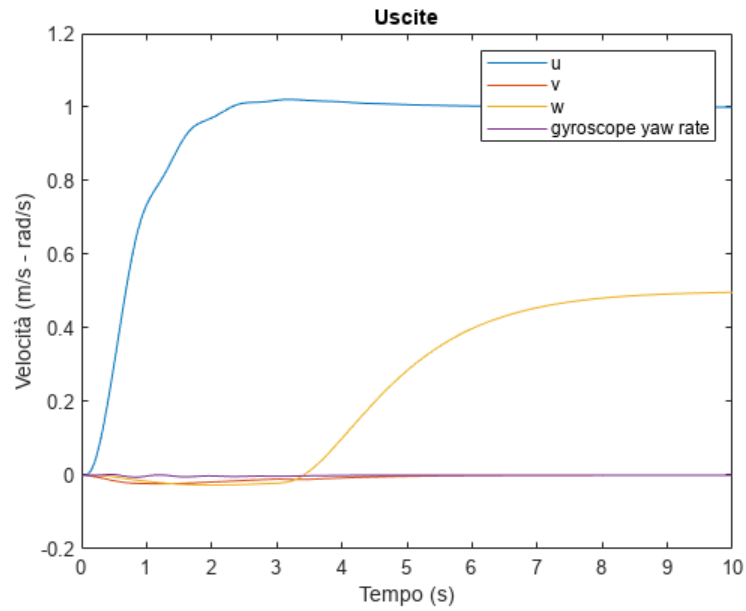


Figura 17: Simulazione dell'uscita dell'impianto reale

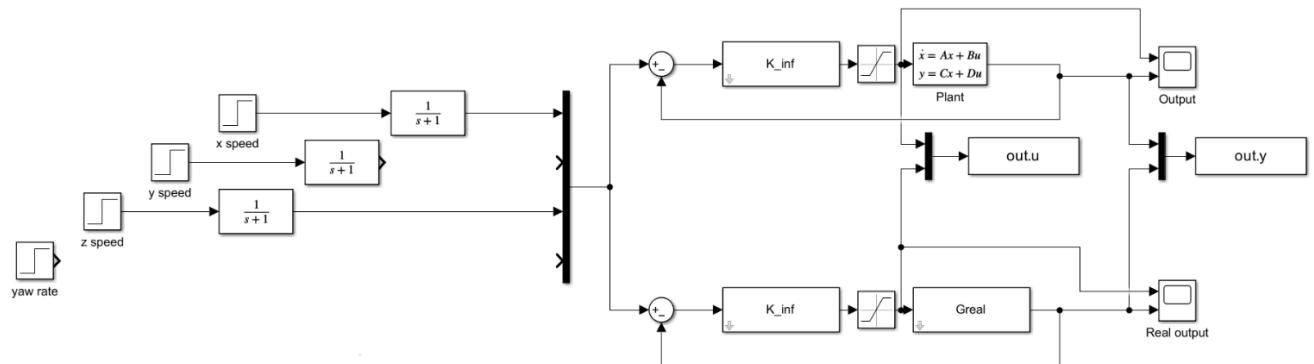


Figura 18: Schema completo del progetto con mixsyn

Controllo LQ

Il controllo ottimo LQ consiste nel trovare la matrice K della retroazione di stato che minimizza la funzione obiettivo $\int_0^{+\infty} x^T Q x + u^T R u dt$. Le matrici Q ed R penalizzano rispettivamente alti valori dello stato e degli ingressi di controllo. I valori sono scelti procedendo per tentativi fino ad ottenere la risposta con le caratteristiche desiderate. Dato che si vuole errore a regime nullo, il comando **lqr** viene eseguito sulle matrici dell'impianto aumentato, con la presenza di 4 integratori.

```
Q = diag([1; 1; 1; 1; 1; 1; 1; 1; 1; 1; 1; 1; 1; 1; 0.3; 0.3; 0.3; 0.3]).*1;
R = diag([1; 4; 1; 1]).*5;
[K_lq, S, eig_LQ] = lqr(Aint, Bint,Q,R);
K_s_lq = K_lq(:,1:13);
K_i_lq = K_lq(:,14:17);
out_lq = sim('LQR_sim');
plotyu(out_lq, 'ulim', [-0.05,0.05], 'ylegend', outputs, 'ulegend', inputs)
```

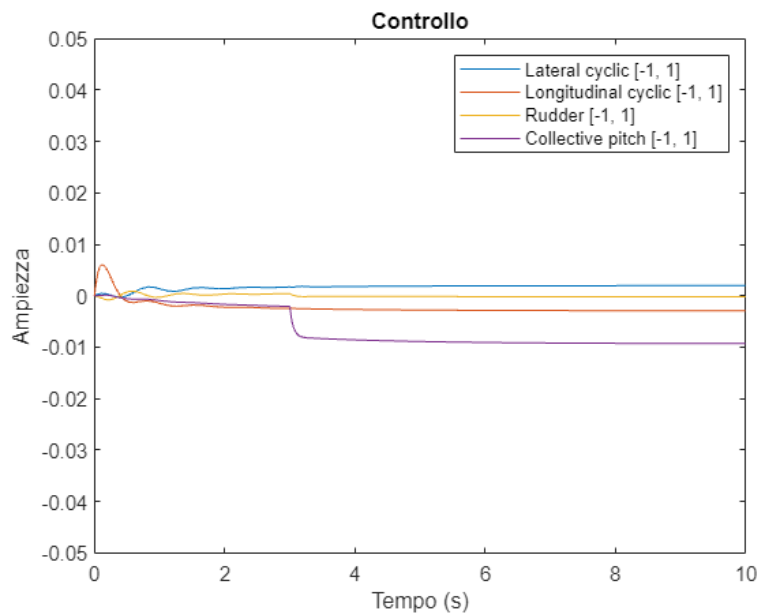


Figura 19: Grandezza di controllo del regolatore progettato con il controllo LQ

Filtro di Kalman

Per mantenere l'ottimalità della soluzione inserendo un osservatore è necessario utilizzare un filtro di Kalman, il quale è utile anche per minimizzare la varianza dell'errore di stima nel caso in cui siano presenti rumori di processo o di misura dell'uscita. Per il principio di separazione, il progetto dell'osservatore può essere effettuato una volta completato il progetto della retroazione di stato. In particolare, è sufficiente risolvere il problema LQ al sistema duale ottenendo la matrice L dell'osservatore. Ancora una volta, le condizioni iniziali dell'osservatore e del sistema sono diverse.

```
BandWidth=500;
NoisePower=1e-6/BandWidth;
Rt=eye(4)*NoisePower;
Qt=eye(13)*1e-10;

L_kalman = lqr(A',C',Qt,Rt)';
A_k = (A-L_kalman*C);
B_k = [B - L_kalman*D, L_kalman];
C_k = eye(13);
D_k = zeros(13,8);

x0_obs = rand(13,1)*0.005-0.0025;
out_lqg = sim('LQG_sim');
plotyu(out_lqg,'ulim',[-0.05,0.05],'ylegend',outputs,'ulegend',inputs)
```

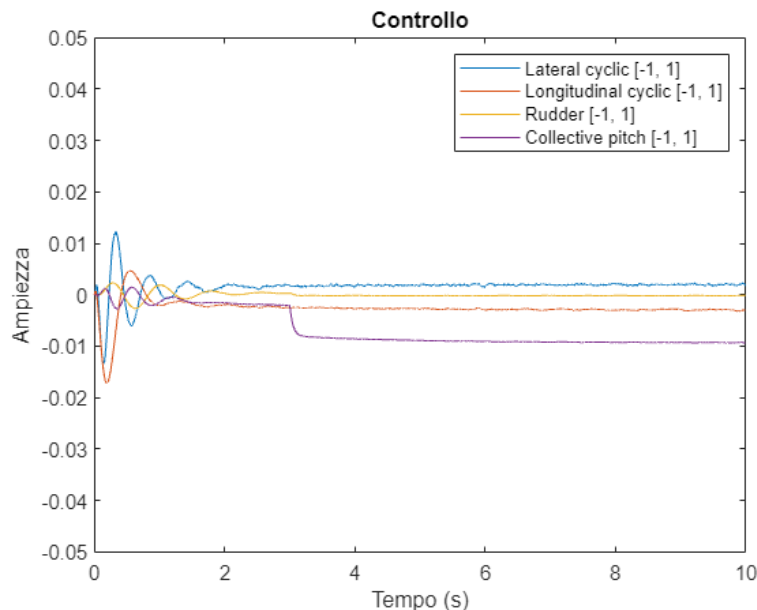


Figura 22: Grandezza di controllo del sistema con filtro di Kalman in presenza di rumore di processo e di uscita

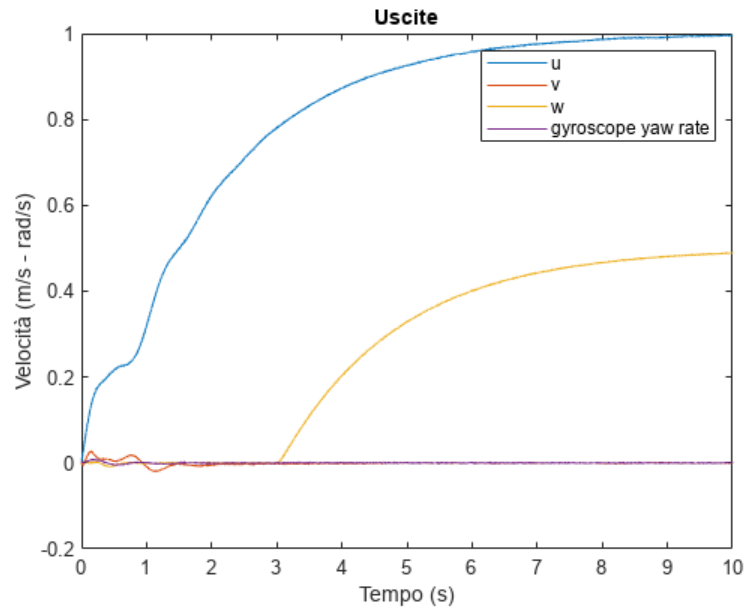


Figura 23: Uscita del sistema con filtro di Kalman

Le specifiche sono ancora rispettate, il transitorio iniziale presenta un carattere maggiormente oscillatorio a causa dell'errore di stima iniziale.

```
plot(out_lqg.e.time,out_lqg.e.signals.values);
title('Errore di stima')
xlabel('Tempo (s)')
xlim([0 5])
```

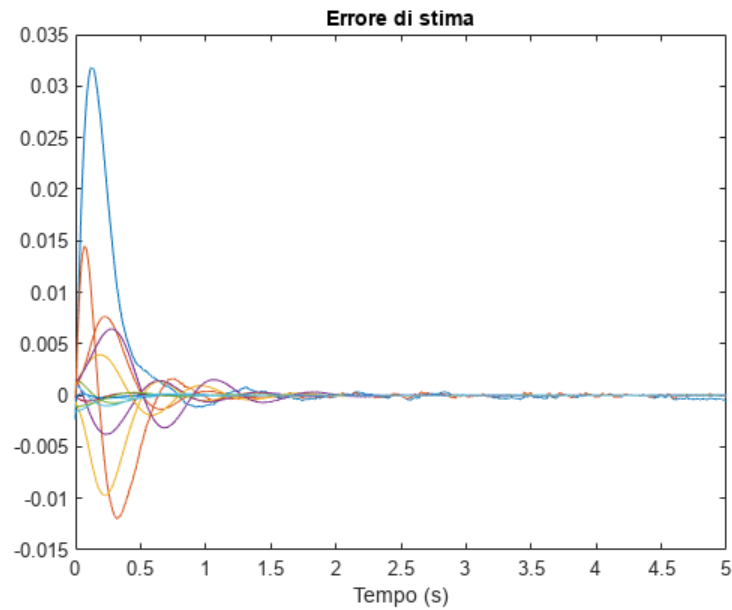


Figura 24: Errore di stima tra lo stato osservato ed effettivo

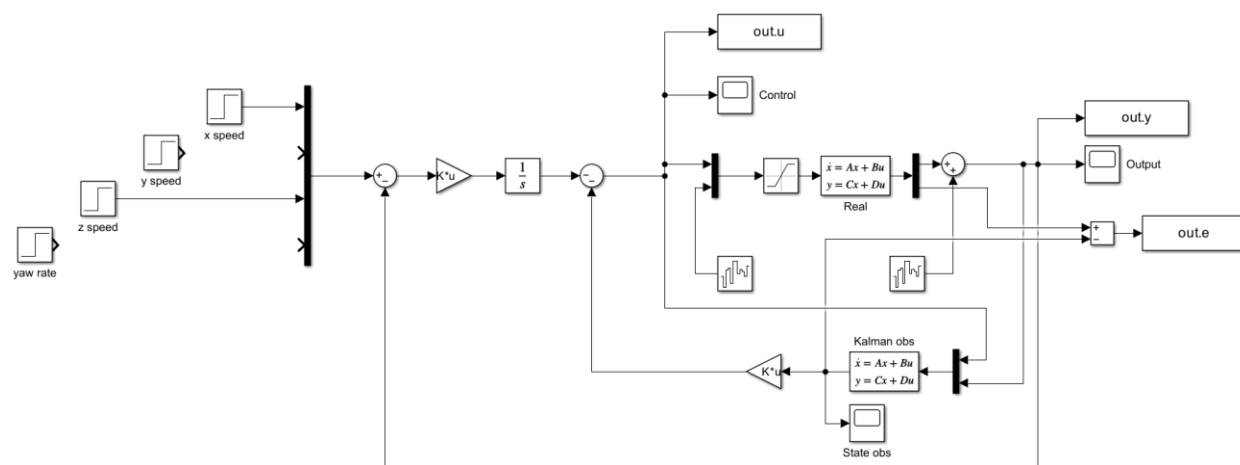


Figura 25: Schema completo del controllo LQG

Appendice

È stata creata una funzione Matlab chiamata "plotyu" per evitare la ripetizione del codice necessario per generare i grafici della grandezza di controllo e dell'uscita. Questa funzione è stata progettata per stampare tutti i grafici in un formato standard.

La funzione "plotyu" richiede come argomento l'oggetto ritornato dal comando "sim" di Matlab e permette l'uso di parametri opzionali per specificare i limiti degli assi relativi alla grandezza di controllo "u" e alla grandezza di uscita "y" o una legenda.

L'utilizzo della funzione "plotyu" consente di ridurre notevolmente la quantità di codice necessaria per generare i grafici della grandezza di controllo e dell'uscita, semplificando la visualizzazione dei dati in modo coerente e uniforme, ed aumentando la leggibilità del codice.

```
function plotyu(out,varargin)

    p = inputParser;
    addParameter(p, 'ulim', [-1 1]);
    addParameter(p, 'ylim', 0);
    addParameter(p, 'ulegend', {});
    addParameter(p, 'ylegend', {});
    addParameter(p, 'un', 0);
    addParameter(p, 'yn', 0);
    parse(p, varargin{:});
    ulim = p.Results.ulim;
    ylim = p.Results.ylim;
    ulegend = p.Results.ulegend;
    ylegend = p.Results.ylegend;
    un = p.Results.un;
    yn = p.Results.yn;
    figure
    if un~=0
        plot(out.u.time, out.u.signals.values(:,un));
    else
        plot(out.u.time, out.u.signals.values);
    end
    title('Controllo');
    xlabel('Tempo (s)');
    ylabel('Ampiezza');
    axis([out.u.time(1) out.u.time(end) ulim])
    if isempty(ulegend) ~= 1
        legend(ulegend);
    end

    figure
```



```

if un~=0
    plot(out.y.time, out.y.signals.values(:,yn));
else
    plot(out.y.time, out.y.signals.values);
end
title('Uscite');
xlabel('Tempo (s)');
ylabel('Velocità (m/s - rad/s)');
if isempty(ylegend) ~= 1
    legend(ylegend);
end
if ylim ~= 0
    axis([out.y.time(1) out.y.time(end) ylim])
end
end

```

Per il modello si è fatto riferimento a Model Helicopter Control, Tiago D. T. Rita - IDMEC/IST, Universidade Técnica de Lisboa (TU Lisbon) disponibile al link <https://fenix.tecnico.ulisboa.pt/downloadFile/395139413911/resumo.pdf>.